

O spin do elétron

- Do mesmo modo que na Mecânica Clássica, o momento angular está associado às principais características do movimento dos planetas sob a ação do campo gravitacional do Sol, o momento angular desempenha papel análogo na análise dos sistemas atômicos, onde elétrons se movem sob a ação do campo coulombiano dos núcleos.
- Reforçando a analogia, assim como um planeta possui momento angular orbital (em relação ao Sol) e momento angular próprio (em relação ao seu C.M.), o elétron em um átomo, além do momento angular orbital (\vec{L}), em relação ao núcleo, apresenta também momento angular intrínseco (\vec{S}), denominado spin.
- Diferentemente do momentum orbital, que depende das interações do elétron, o spin é uma característica invariante de uma partícula.
- Uma vez que partículas eletricamente carregadas em movimento dão origem a campos eletromagnéticos, o momentum angular (orbital e spin) dos sistemas atômicos é inversamente proporcional às suas propriedades magnéticas.

- Apesar do sucesso na determinação dos espectros do hidrogênio, a solução da equação de Schrödinger considerando apenas a interação coulombiana elétron-proton não explica a chamada estutura fina do espectro.
- Tanto o desdobramento das linhas do espectro na ausência de um campo magnético (estutura fina), quanto o desdobramento observado das linhas sob a ação de um campo magnético (efeito Zeeman) decorrem da existência do spin.
- ^{Lxundo} Uhlenbeck e Goudsmit, em quanto o momento dipolar magnético orbital do elétron é dado por

$$\vec{\mu}_e = - \left(\frac{e}{2m} \right) \vec{l} = - \left(\frac{e\hbar}{2m} \right) \vec{l}$$

γ_e - razão gromagnética μ_B - magneton de Bohr

$$\mu_B = \gamma_e \hbar$$

$\gamma_e \sim 10^{11} \text{ T}^{-1} \text{s}^{-1}$

 $\mu_B \sim 10^{-23} \text{ J/T}$

- momento dipolar de spin é dado por

$$\vec{\mu}_s = - \left(\frac{e}{m} \right) \vec{S} = - \gamma_e \vec{S} = - \mu_B \vec{\sigma}$$

$\vec{\sigma} = \frac{\hbar}{2} \vec{\sigma}$ - matriz de Pauli

O espectro do hidrogênio

- Devido à simetria (radial) do potencial coulombiano, a equação de Schrödinger para o átomo de hidrogênio é adequadamente expressa em coordenadas esféricas,

$$\underbrace{\left[-\frac{\hbar^2}{2m} \nabla^2 + V(n) \right]}_H \psi(n, \theta, \varphi) = E \psi(n, \theta, \varphi)$$

onde a parte angular está relacionada ao momentum angular orbital (\vec{L})

$$\nabla^2 = \nabla_n^2 + \frac{\vec{L}^2(\theta, \varphi)}{\hbar^2 n^2}$$

- Como $[H, L^2] = [H, L_z] = [L^2, L_z] = 0$, os estados estacionários são autoestados simultâneos de H , L^2 e L_z .
- Em coordenadas esféricas a equação de Schrödinger é três equações independentes, cada qual função de apenas uma variável, tal que as soluções estacionárias são dadas por

$$\psi_{n,lm} (r, \theta, \varphi) = R_{n,l}(r) \underbrace{P_e^{m_l}(\theta)}_{Y_e^{m_l}(\theta, \varphi)} e^{im_l \varphi}$$

- Os três números quantícios (n, l, m_l) determinam o espectro de energia e os autovalores associados ao momento angular.

$$\left\{ \begin{array}{l} H \Psi_{nlm} = E_n \Psi_{nlm} \quad E_n = -\frac{e^2}{2a_B} \frac{1}{n^2} \quad n: 1, 2, 3, \dots \text{ (principal)} \\ L^2 Y_l^{ml} = h^2 l(l+1) Y_l^{ml} \quad l = 0, 1, 2, \dots (n-1) \text{ (secundário)} \\ L_z Y_l^{ml} = k m_l Y_l^{ml} \quad m_l: 0, \pm 1, \pm 2, \dots \pm l \text{ (magnético)} \end{array} \right.$$

- De acordo com a equação de Schrödinger, para cada valor de n e l correspondem $(2l+1)$ autoestados distintos de mesma energia. Como para um dado n , os valores de l podem variar de 0 a $n-1$, o nº total de autoestados de mesma energia (para um dado n) é dado por

$$\sum_{l=0}^{n-1} (2l+1) = 2 \sum_{l=0}^{n-1} l + n = n(n-1) + n = n^2$$

$$S_n = \frac{(a_0 + a_{n-1}) n}{2}$$

- Ao se considerar o spin do elétron, existem mais dois possíveis estados para cada conjunto de nos quantícios n, l, m_l .

- Para se identificar completamente um ^{largo} Estado particular do átomo de hidrogênio, deve-se indicar também o nº quântico m_s (associado à projeção do spin em uma direção, usualmente z), o qual é igual a $\frac{1}{2}$ ou $-\frac{1}{2}$.
- Assim, um ^{largo} Estado de energia do elétron no átomo de hidrogênio é caracterizado por quatro nrs quânticos.

$$(n, l, m_e, m_s)$$

Notação espetroscópica

- De acordo com a notação espetroscópica, os ^{largo} estados de momentum angular orbital são ordenados e denotados como
- | | | | | | | | |
|-----|---|---|---|---|---|---|---|
| l | 0 | 1 | 2 | 3 | 4 | 5 | 6 |
| | s | p | d | f | g | h | i |
- Ao se considerar o momentum angular total ($J = l + \frac{1}{2}$), acrescenta-se um subíndice $j = l \pm \frac{1}{2}$, tal que

$$\left\{ \begin{array}{l} n=3, l=1, j=\frac{3}{2} \Rightarrow 3P_{3/2} \\ n=3, l=1, j=\frac{1}{2} \Rightarrow 3P_{1/2} \end{array} \right.$$

- nomenclatura original da designação espetroscópica:
sharp (s), principal (p), diffuse (d), fundamental (f)
- estado associado ao par $n=1, l=0$ é representado por 1s
- $n=3, l=2 \Rightarrow 3d$

Estrutura fina do espectro

- A modificação dos espectros de energia dos átomos de hidrogênio (estrutura fina) deve-se da interação entre os momentos dipolares orbital ($\vec{\mu}_e$) e de spin ($\vec{\mu}_s$).

$$\begin{cases} \vec{\mu}_e = -\gamma_e \vec{L} \\ \vec{\mu}_s = -2\gamma_e \vec{S} \end{cases} \Rightarrow V_{es} = \frac{\vec{\mu}_s \cdot \vec{\mu}_e}{r^3} = 2\gamma_e^2 \frac{\vec{L} \cdot \vec{S}}{r^3}$$

- A coragem devido à chamada interação spin-orbita pode ser estimada como

$$V_{es} \sim \frac{\gamma_e^2 \hbar^2}{a_B^3} = \frac{\mu_B^2}{a_B^3} \approx \frac{10^{-40}}{10^{-24}} = 10^{-16} \text{ erg} = 10^{-23} \text{ J} \sim 10^{-4} \text{ eV}$$

p/ o estado fundamental ($E_1 \sim -10 \text{ eV}$), $\left| \frac{V_{es}}{E_1} \right| \ll 1 (10^{-5})$

- Efeitos relativísticos (da mesma ordem de grandezza) também contribuem p/ o espectro de energia do elétron.
- A coragem relativística deve ser calculada a partir da equação de Dirac (eq. relativística que descreve o comportamento do elétron). No entanto, por métodos perturbatórios pode-se estimar a coragem a partir da eq. de Schrödinger (fórmula de Sommerfeld).

$$n=2 \quad \text{---} \quad \text{---} \quad \text{---} \quad \text{---} \quad \text{---} \quad 2P_{3/2} \quad -3,4 \text{ eV}$$

$2S_{1/2}$

$$2P_{1/2}$$

$$n=1 \quad \text{---} \quad \text{---} \quad \text{---} \quad \text{---} \quad \text{---} \quad -13,6 \text{ eV}$$

$1S_{1/2}$

$\downarrow \sim 10^{-4} \text{ eV}$

- comparação relativística

$$E = \sqrt{(pc)^2 + (mc^2)^2} = mc^2 \left[1 + \left(\frac{p}{mc} \right)^2 \right]^{\frac{1}{2}}$$

$$= mc^2 + \frac{p^2}{2m} - \frac{1}{8} \left(\frac{p}{mc} \right)^4 mc^2$$

$$\begin{cases} p = \frac{h}{a_B} \\ a_B = \frac{h^2}{me^2} \end{cases} \Rightarrow p = \frac{me^2}{h} \Rightarrow \frac{p}{mc} = \left(\frac{e^2}{hc} \right)^4 = \alpha^4$$

α (constante da estrutura fina)

(energia cinética) $T = \frac{p^2}{2m} - \frac{1}{8} \alpha^4 (mc^2)$

comparação relativística

$$f(x) = (1+x)^{\frac{1}{2}} \Rightarrow f(0) = 1$$

$$f'(x) = \frac{1}{2}(1+x)^{-\frac{1}{2}} \Rightarrow f'(0) = \frac{1}{2}$$

$$f''(x) = -\frac{1}{4}(1+x)^{-\frac{3}{2}} \Rightarrow f''(0) = -\frac{1}{4}$$

$$f(x) = 1 + \frac{1}{2}x - \frac{1}{8}x^2$$

$$a_B = \frac{h^2}{me^2}$$

- comparação entre as correções spin-orbita e relativística

$$V_{ls} \sim \frac{M_B^2}{a_B^3} = \frac{e^2}{a_B} \frac{h^2}{4m^2c^2} \frac{1}{a_B^2} = \frac{e^2}{(2a_B)} \frac{h^2}{2m^2c^2} \frac{m^2e^4}{h^4c^2} = \frac{1}{2} \left(\frac{e^2}{hc} \right)^2 \left(\frac{e^2}{2a_B} \right)^2$$

$$V_{ls} \sim \frac{1}{2} \alpha^2 R_y$$

$$\Rightarrow V_{ls} \sim \frac{1}{4} \alpha^4 (mc^2)$$

$$R_y = \frac{1}{2} \alpha^2 (mc^2)$$

R_y (energia de Rydberg)

$$R_y = \frac{e^2}{(2h^2/me^2)} = \frac{e^4 m}{2 h^2} \left(\frac{c^2}{c^2} \right)$$

$$R_y = \frac{1}{2} \left(\frac{e^2}{hc} \right)^2 mc^2 = \frac{1}{2} \alpha^2 mc^2$$

Regras de Seleção

- Uma vez que as dimensões atômicas são muito menores que o comprimento de onda da luz, em primeira aproximação, a interação de um sistema atômico com um campo eletromagnético é determinada pelo momento dipolar elétrico, o qual é proporcional à coordenada de posição (\vec{r}) do dipolo.
- Assim, a probabilidade de transição entre estados estacionários com níveis quantitativos (n', l', m') e (n, l, m) que ocorrem na emissão ou na absorção da radiação por um átomo é proporcional a

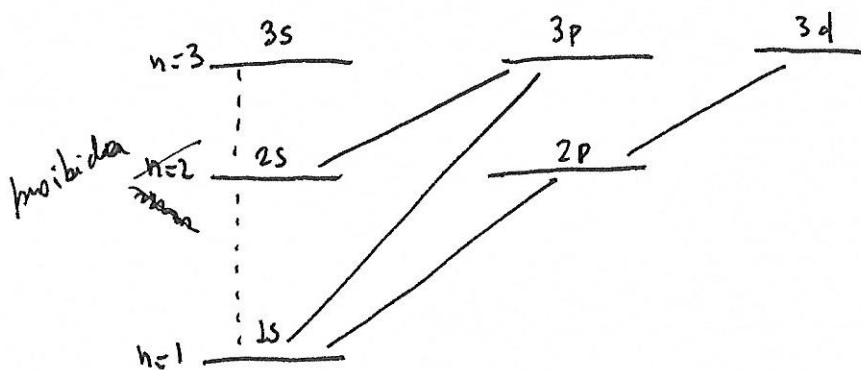
$$\langle \vec{r} \rangle = \int \vec{r} \psi_{nl'm'}^*(\vec{r}) \psi_{nlm}(\vec{r}) d^3\vec{r} = \int_0^\pi \int_0^\pi \int_0^{2\pi} \vec{r} R_{nl'e}(\gamma) R_{nl}(\gamma) n^2 P_e^{m'}(\theta) P_e^m(\theta) \sin\theta \dots \\ \dots e^{-im'\varphi} e^{im\varphi} d\gamma d\theta d\varphi$$

- Sendo $\vec{r} = x\hat{i} + y\hat{j} + z\hat{k} = r \sin\theta \cos\varphi \hat{i} + r \sin\theta \sin\varphi \hat{j} + r \cos\theta \hat{k}$, as condições para que a probabilidade de transição não seja nula, chamadas regras de seleção, são dadas por

$$\langle z \rangle \sim \int_0^{2\pi} e^{-im'\varphi} e^{im\varphi} d\varphi \sim \delta_{m'm} \Rightarrow \Delta m = 0$$

$$\left\{ \begin{array}{l} \langle y \rangle \sim \int_0^{2\pi} e^{-im'q} e^{imq} \underbrace{\sin q}_{e^{iq} - e^{-iq}} dq \sim \delta_{m', m \pm 1} \\ \langle x \rangle \sim \int_0^{2\pi} e^{-im'q} e^{imq} \cos q dq \sim \delta_{m', m \pm 1} \end{array} \right. \Rightarrow \Delta m = \pm 1$$

- De maneira análoga, para o nô quântico l , $\Delta l = \pm 1$
- Assim, para o átomo de hidrogênio, só ocorrem transições que satisfazem a condição de ressonância, $w = \frac{|E_n - E_l|}{h}$ e as regras de seleção $\Delta l = \pm 1$ e $\Delta m = 0, \pm 1$.



- Para átomos multielétronicos uma regra de seleção é dada por $\Delta J = 0, \pm 1$ ($J_i = 0 \rightarrow J_f = 0$, proibida)